



TVS

瞬态电压抑制二极管产品选型指南

Transient Voltage Suppressors Selection Guide



<http://brightking.yageo.com/>

目录

| | | |
|-----|-----------------------------------|----|
| 1 | TVS 工作原理..... | 3 |
| 2 | TVS 特点..... | 4 |
| 3 | TVS 典型应用..... | 4 |
| 4 | TVS 命名规则..... | 5 |
| 5 | TVS 电性检测..... | 5 |
| 5.1 | V_{RWM} 截止电压 , I_R 漏电流 | 5 |
| 5.2 | V_{BR} 击穿电压..... | 6 |
| 5.3 | I_{PP} 峰值脉冲电流 , V_c 钳位电压..... | 7 |
| 6 | TVS 选型注意事项..... | 8 |
| 6.1 | 最高工作电压 V_{RWM} | 8 |
| 6.2 | TVS 功率选型..... | 8 |
| 6.3 | V_c 钳位电压..... | 8 |
| 6.4 | I_R 漏电流..... | 9 |
| 6.5 | 结电容 | 9 |
| 6.6 | 封装形式..... | 9 |
| 7 | 君耀电子(BrightKing)TVS 产品线 | 10 |

1 TVS 工作原理

TVS (Transient Voltage Suppressors), 即瞬态电压抑制器，又称雪崩击穿二极管。它是采用半导体工艺制成的单个 PN 结或多个 PN 结集成的器件。TVS 有单向与双向之分，单向 TVS 一般应用于直流供电电路，双向 TVS 应用于电压交变的电路。如图 1 所示，应用于直流电路时单向 TVS 反向并联于电路中，当电路正常工作时，TVS 处于截止状态（高阻态），不影响电路正常工作。当电路出现异常过电压并达到 TVS（雪崩）击穿电压时，TVS 迅速由高电阻状态突变为低电阻状态，泄放由异常过电压导致的瞬时过电流到地，同时把异常过电压钳制在较低的水平，从而保护后级电路免遭异常过电压的损坏。当异常过电压消失后，TVS 阻值又恢复为高阻态。

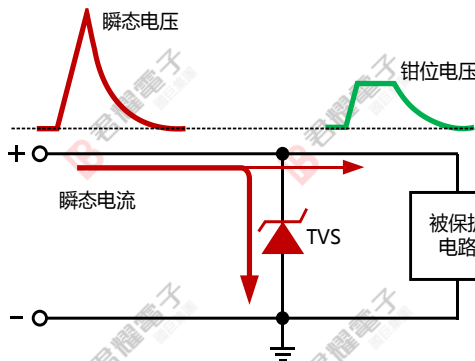


图 1 TVS 电路保护原理简图

TVS 的伏安特性曲线及相关参数说明如图 2 所示，双向 TVS 伏安特性曲线第一象限与第三象限极性相反，特性相似，如图 3。当 TVS 反向偏置时，TVS 有两种工作模式：待机（高阻抗）或钳制（相对的低阻抗），如图 2 第三象限。在待机状态下，流过 TVS 的电流称为待机电流 (I_R) 或漏电流，该电流的大小随 TVS 的结温而变化。在 TVS 的伏安特性曲线中，由高阻抗（待机）向低阻抗（钳位）转变是雪崩击穿的开始，当 TVS 完全雪崩击穿时，TVS 会瞬间把高电压转化为流过大体内的大电流并保持 PN 结两端相对较低的钳位电压。

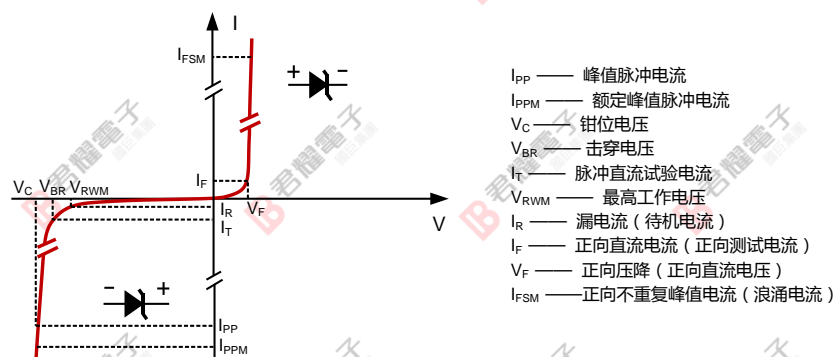
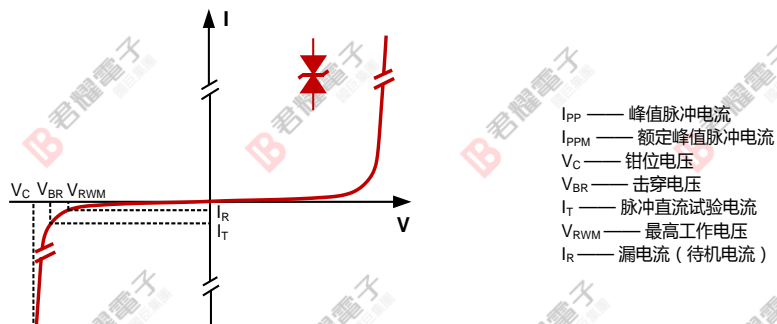


图 2 单向 TVS 伏安特性曲线



2 TVS 特点

- TVS 内部芯片为半导体硅材料，采用半导体工艺制成，具有较高的可靠性。
- TVS 具有较低的动态内阻，钳位电压低。
- TVS 较其他过压保护器件，具有较快的响应速度。
- TVS 电压精度高，击穿电压一般为 $\pm 5\%$ 的偏差，在特殊应用场合，还可以通过工艺改善或参数筛选达到更高的精度。
- TVS 封装多样化，贴片封装有 SOD-123、SMA (DO-214AC)、SMB(DO-214AA)、SMC(DO-214AB)、DO-218AB 等，插件封装有 DO-41、DO-15、DO-201、P-600 等。
- TVS 在 $10/1000\mu s$ 波形下瞬态功率可达 $200W \sim 30000W$ ，甚至更高。在 $8/20\mu s$ 波形下瞬态峰值脉冲电流可达 $3kA$ 、 $6kA$ 、 $10kA$ 、 $16kA$ 、 $20kA$ 甚至更高。
- 工作电压范围可从 $3.3V \sim 600V$ ，甚至更高。

3 TVS 典型应用

TVS 由于具有响应速度快，钳位电压低，电压精准等优点，因而应用于对保护器件要求较高的场合，如汽车电子、工业控制、照明，通信等行业，如 DC 电源线，RS485 接口，通信电源，I/O 口等。图 4 至图 7 是一些典型应用案例。

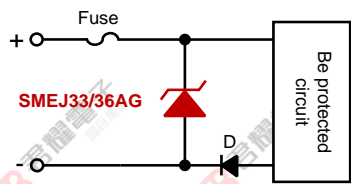


图 4 12V DC 电源线保护 (汽车电子)

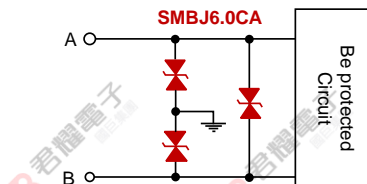


图 5 RS485 接口保护

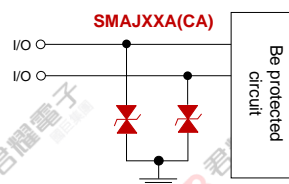


图 6 I/O 接口保护

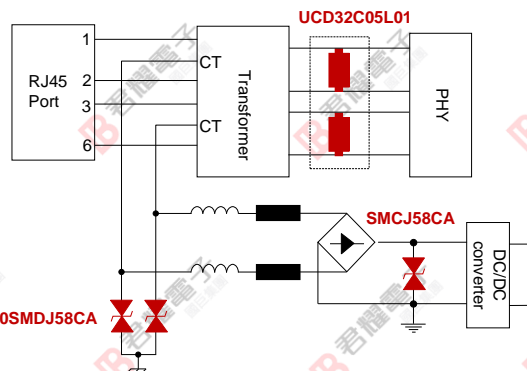
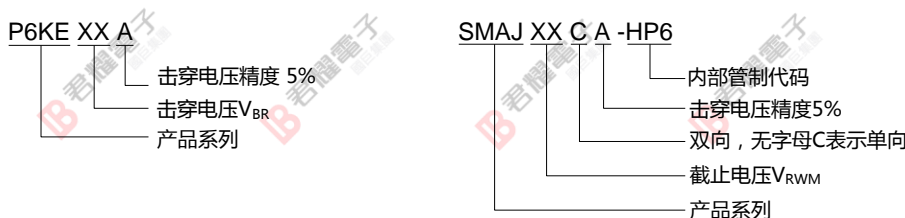


图 7 100M PoE 接口保护

4 TVS 命名规则



5 TVS 电性检测

表 1 为君耀电子 TVS 规格参数，下面分别针对以下参数简单介绍 TVS 电性检测。

表 1 TVS 参数

| Part Number | | Device Marking Code | | Reverse Stand-Off Voltage | Breakdown Voltage MIN. @ I _T | Breakdown Voltage MAX. @ I _T | Test Current | Maximum Clamping Voltage @ I _{PP} | Peak Pulse Current | Reverse Leakage @ V _{RWM} |
|-------------|-----------|---------------------|----|---------------------------|---|---|---------------------|--|---------------------|------------------------------------|
| UNI-POLAR | BI-POLAR | UNI | BI | V _{RWM} (V) | V _{BR} MIN.(V) | V _{BR} MAX.(V) | I _T (mA) | V _c (V) | I _{PP} (A) | I _R (μA) |
| SMAJ5.0A | SMAJ5.0CA | AE | WE | 5.0 | 6.40 | 7.00 | 10.0 | 9.2 | 43.5 | 800.0 |
| SMAJ6.0A | SMAJ6.0CA | AG | WG | 6.0 | 6.67 | 7.37 | 10.0 | 10.3 | 38.8 | 800.0 |

5.1 V_{RWM} 截止电压, I_R 漏电流

V_{RWM}，截止电压，TVS 的最高工作电压，可连续施加而不引起 TVS 劣化或损坏的最大的直流电压或交流峰值电压。在 V_{RWM} 下，TVS 认为是不工作的，即是不导通的。

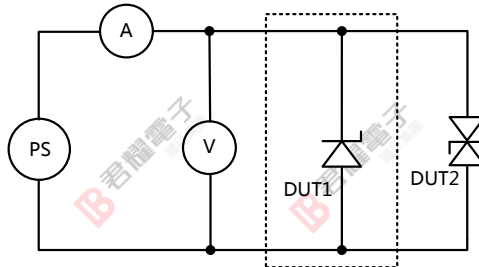
I_R ，漏电流，也称待机电流。在规定温度和最高工作电压条件下，流过 TVS 的最大电流。TVS 的漏电流一般是在截止电压下测量，对于某一型号 TVS, I_R 应在规定值范围内。

V_{RWM} 和 I_R 测试回路如图 4 所示，对 TVS 两端施加电压值为 V_{RWM} ，从电流表中读出的电流值即为 TVS 的漏电流 I_R ，其中虚线框表示单向 TVS 测试回路。如对于我司型号为 SMAJ5.0A 的 TVS，当加在 TVS 两端的电压为 5VDC 时，流过 TVS 的电流应小于 $800\mu A$ 。对于同功率和同电压的 TVS，在 $V_{RWM} \leq 10V$ 时，双向 TVS 漏电流是单向 TVS 漏电流的 2 倍。

5.2 V_{BR} 击穿电压

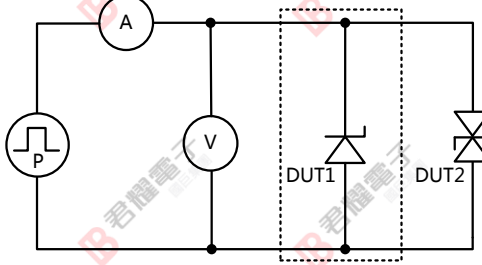
击穿电压，指在 V-I 特性曲线上，在规定的脉冲直流电流 I_T 或接近发生雪崩的电流条件下测得 TVS 两端的电压。

对于低压 TVS，由于漏电流较大，所以测试电流选取的 I_T 较大，如 SMAJ5.0A，测试电流 I_T 选取 10mA。 V_{BR} 测试电路如图 5 所示，使用脉冲恒流源对 TVS 施加 I_T 大小的电流时，读出 TVS 两端的电压则为击穿电压。电流施加时间应不超过 400ms，以免造成 TVS 受热损坏。 $V_{BR MIN}$ 和 $V_{BR MAX}$ 是 TVS 击穿电压的一个偏差，一般 TVS 为 $\pm 5\%$ 的偏差。测量时， V_{BR} 落在 $V_{BR MIN}$ 和 $V_{BR MAX}$ 之间视为合格品。



元件：
PS—可调直流电压源（如为交流试验，则为交流电压源）
V—数字电压表（如为交流试验，则为示波器）
A—一直流微安表（如为交流试验，则为交流微安表）
DUT1—受试单向器件
DUT2—受试双向器件

图 4 TVS 最大工作电压 (V_{RWM} , 交流则为有效值) 漏电流 (I_R) 试验电路



元件：
P—脉冲恒流源
V—数字电压表
DUT1—受试单向器件
DUT2—受试双向器件

图 5 TVS 击穿电压 (V_{BR}) 测试电路

5.3 I_{PP} 峰值脉冲电流 , V_C 钳位电压

I_{PP} , 峰值脉冲电流 , 给定脉冲电流波形的峰值。TVS 一般选用 10/1000μs 电流波形 (图 6)。

V_C , 钳位电压 , 施加规定波形的峰值脉冲电流 I_{PP} 时 , TVS 两端测得的峰值电压。

I_{PP} 及 V_C 是衡量 TVS 在电路保护中抵抗浪涌脉冲电流及限制电压能力的参数 , 这两个参数是相互联系的。对于 TVS 在防雷保护电路中的钳位特性 , 可以参考 V_C 这个参数。对于相同型号 TVS , 在相同 I_{PP} 下的 V_C 越小 , 说明 TVS 的钳位特性越好。TVS 的耐脉冲电流冲击能力可以参考 I_{PP} , 同型号的 TVS , I_{PP} 越大 , 耐脉冲电流冲击能力越强。

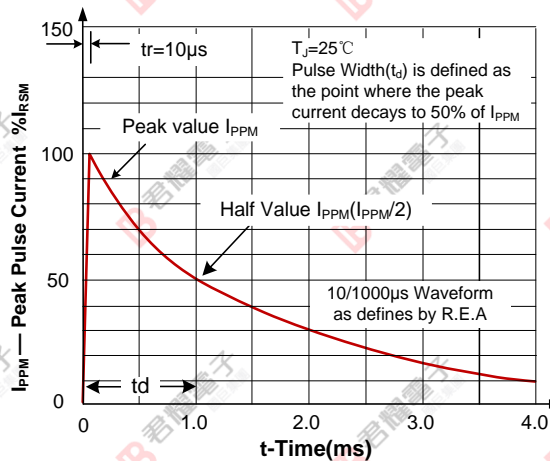
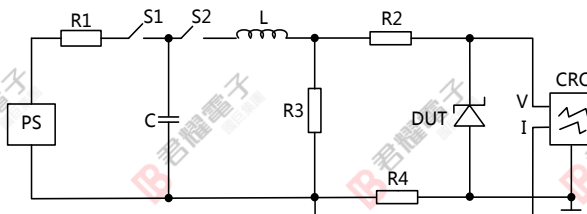


图 6 10/1000μs 电流波形

图 7 为 TVS 峰值脉冲电流 (I_{PP}) , 钳位电压 (V_C) 测量试验回路示意图 , 测量时应考虑到 TVS 的散热问题 , 两次测试时间间隔不能太短 , 以免对 TVS 造成损坏。



元件：
 PS—DC 充电电源 ; S1—充电开关 ;
 S2—放电开关 ; R1—充电电阻 ;
 C—储能电容器 ; L—调波电感 ;
 R3—调波电阻 ; R2—调波限流电阻 ;
 R4—电流传感电阻 (同轴) 或者可采用适当额定值的电流互感器探头 ;
 DUT—试品 (TVS);
 CRO—用于观察电流和电压的示波器。
 注 : 所示回路仅为示意图 , 应采用大电流及高频试验的测量技术

图 7 TVS 钳位电压 (V_C) , 峰值脉冲电流 (I_{PP}) 试验回路

以上对于 TVS 的测量 , 图中所示电路为电路的基本原理 , 目前市面上有多种 TVS 电性检测仪器 , 如晶体管图示仪 , TVS 检测仪等 , 浪涌发生器、TVS 逆向功率测试仪等。

6 TVS 选型注意事项

6.1 最高工作电压 V_{RWM}

在电路正常工作情况下，TVS 应该是不工作的，即处于截止状态，所以 TVS 的截止电压应大于被保护电路的最高工作电压。这样才能保证 TVS 在电路正常工作下不会影响电路工作。但是 TVS 的工作电压高低也决定了 TVS 钳位电压的高低，在截止电压大于线路正常工作电压的情况下，TVS 工作电压也不能选取的过高，如果太高，钳位电压也会较高，所以在选择 V_{RWM} 时，要综合考虑被保护电路的工作电压及后级电路的承受能力。

6.2 TVS 功率选型

TVS 产品的额定瞬态功率应大于电路中可能出现的最大瞬态浪涌功率，具体可参照如下计算方法。

TVS 的额定功率记为 P_{PPM} ，则 P_{PPM} 的功率可估算为：

$$P_{PPM} = V_C \times I_{PP}$$

其中， V_C 为 TVS 的钳位电压， I_{PP} 为 TVS 在 10/1000μs 波形的峰值脉冲电流。

对于不同功率等级的 TVS，相同电压规格的 TVS 其 V_C 值是一样的，只是 I_{PP} 不同。故 P_{PPM} 与 I_{PPM} 成正比， I_{PPM} 越大， P_{PPM} 也越大。

对于某一电路，有对应的测试要求，设实际电路中的最大测试电流为 I_{actual} ，则 I_{actual} 可估算为：

$$I_{actual} = \frac{U_{actual}}{R_i}$$

其中 U_{actual} 为测试电压， R_i 为测试内阻。

TVS 要通过测试，故实际电路中要求 10/1000μs 波形下 TVS 的最小功率 P_{actual} 为：

$$P_{actual} = V_C \times I_{actual} \times k \frac{p_1}{p_2} = V_C \times \frac{U_{actual}}{R_i} \times k \frac{p_1}{p_2}$$

其中 $k \frac{p_1}{p_2}$ 为波形转换系数，如实际测试波形为其他波形，如 8/20μs 波形，建议 $k \frac{p_1}{p_2}$ 取 $\frac{1}{3\sim 5}$ ，如测试波形为 10/700μs，建议 $k \frac{p_1}{p_2}$ 取 $\frac{1}{1.5\sim 2}$ ， $k \frac{p_1}{p_2}$ 与 TVS 的材质有关，详细可咨询我司技术人员。

实际选型中，TVS 应留有一定的裕量，TVS 的功率 P_{PPM} 选择应遵循 $P_{PPM} \geq P_{actual}$ 。

6.3 V_C 钳位电压

TVS 钳位电压应小于后级被保护电路最大可承受的瞬态安全电压，大多数 TVS 的 V_C 与 V_{BR} 及 I_{PP} 都成正比。对于同一功率等级的 TVS，其击穿电压越高 V_C 也越高。

6.4 I_R 漏电流

在一些低功耗电路或高精度采集电路中，I_R过大可能导致电路功耗过大或信号的采集精度超标。因低压（V_{RWM} < 10V）TVS 的 I_R较大，如果后级电路耐受能力较强的话，尽量选择 10V 或以上的 TVS；如果后级电路耐受能力不足，需要选择小 I_R且低电压的 TVS，我司也可以提供这类产品。

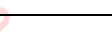
6.5 结电容

TVS 的结电容一般在几十皮法至几十纳法。对于同一功率等级的 TVS，其电压越低，电容值越大。在一些通信线路中，要注意 TVS 的结电容，不能影响电路正常工作。

6.6 封装形式

TVS 的功率从封装形式上也可以体现，封装体积越小，其功率一般也越小，因为 TVS 的芯片面积直接决定了 TVS 的功率等级。电路工程师可根据电路设计及测试要求选择合适封装的 TVS 器件。

7 君耀电子(BrightKing)TVS 产品线

| 产品系列 | 瞬态功率 10/1000μs (W) | V _{RWM} (V) | V _{C@I_{PP}} (V) | I _{PP} @10/100μs (A) | 极性 | 外观 | 封装 |
|------------|--------------------------|-------------------------|--------------------------------------|-------------------------------------|-------|---|------------------|
| P4KE | 400 | 5.80~467.00 | 10.5~760.0 | 39.0~0.52 | 单向、双向 |  | DO-41 (DO-204AL) |
| SMAJ | | 5.0~440.0 | 9.2~713 | 43.5~0.6 | 单向、双向 |  | SMA (DO-214AC) |
| P4SMA | | 5.80~467.00 | 10.5~760.0 | 39.0~0.5 | 单向、双向 | | |
| P4SMA-AT | | 9.40~467.00 | 15.6~760.0 | 26.3~0.5 | 单向、双向 | | |
| SMAJ-AT | | 11.0~440.0 | 18.2~713.0 | 22.0~0.6 | 单向、双向 | | |
| SMAJ-HP | 500 | 5.0~150.0 | 9.2~243.0 | 55.5~2.1 | 单向、双向 |  | DO-15 (DO-204AC) |
| SA | | 5.0~220.0 | 9.2~356.0 | 55.4~1.4 | 单向、双向 |  | |
| SAC(低电容) | | 5.0~50.0 | 10.0~88.0 | 44.0~5.8 | 单向、双向 |  | |
| SMAJ-HP6 | 600 | 6.0~40.0 | 10.3~64.5 | 58.3~9.3 | 单向、双向 |  | SMA (DO-214AC) |
| SMBJ3.3A | | 3.3 | 11.3 | 200 | 单向 |  | SMB (DO-214AA) |
| SMBJ | | 5.0~440.0 | 9.2~713.0 | 65.3~0.9 | 单向、双向 | | |
| SMBJ-AT | | 11.0~440.0 | 18.2~713.0 | 33.0~0.9 | 单向、双向 | | |
| P6SMB | | 5.80~467.00 | 10.5~760.0 | 58.1~0.8 | 单向、双向 | | |
| P6SMB-AT | | 9.40~467.00 | 15.6~760.0 | 39.1~0.8 | 单向、双向 | | |
| P6KE | | 5.80~512.00 | 10.5~828.0 | 58.1~0.75 | 单向、双向 |  | DO-15 (DO-204AC) |
| 1.0SMB | 1000 | 5.80~58.10 | 10.5~92.0 | 96.8~11.0 | 单向、双向 |  | SMB (DO-214AA) |
| SMCJ | 1500 | 5.0~440.0 | 9.2~713.0 | 163.0~2.1 | 单向、双向 |  | SMC (DO-214AB) |
| SMCJ-AT | | 11.0~440 | 18.2~713.0 | 82.5~2.1 | 单向、双向 | | |
| 1.5SMC | | 5.80~467.00 | 10.5~760.0 | 144.8~2.0 | 单向、双向 | | |
| 1.5SMC-AT | | 9.40~467.00 | 15.6~760.0 | 97.4~2.0 | 单向、双向 | | |
| LCE(低电容) | | 6.5~28.0 | 11.2~45.5 | 100~33 | 单向、双向 |  | DO-201 |
| 1.5KE | | 5.80~467.00 | 10.5~760.0 | 144.8~2.0 | 单向、双向 |  | |
| SMDF33&36A | | 33/36 | 53.3/58.1 | 28.1/25.8 | 单向 |  | TO-277 |
| SMDJ | 3000 | 5.0~220.0 | 9.2~356.4 | 326.1~8.4 | 单向、双向 |  | SMC (DO-214AB) |
| SMDJ-AT | | 11.0~220.0 | 18.2~356.0 | 164.8~8.4 | 单向、双向 |  | |
| 3KP | | 5.0~220.0 | 9.2~356.0 | 326.1~8.4 | 单向、双向 |  | P600 |
| 5.0SMDJ | 5000 | 11.0~170.0 | 18.2~275.0 | 275.00~18.2 | 单向、双向 |  | SMC (DO-214AB) |
| 5.0SMDJ-AT | | 22.0~170.0 | 35.5~275.0 | 141.00~18.20 | 单向、双向 | | |
| 5KP | | 5.0~250.0 | 9.2~425.0 | 554.3~12.0 | 单向、双向 |  | P600 |

| 产品系列 | 瞬态功率 $10/1000\mu s$ (W) | V_{RWM} (V) | $V_C@I_{PP}$ (V) | I_{PP} $@10/100\mu s$ (A) | 极性 | 外观 | 封装 |
|-------------------|-------------------------------|------------------|---------------------|-----------------------------------|-------|---|---------------|
| <u>SMEJ</u> | 8000 | 10.0~48.0 | 17.5~85.6 | 475.0~93.5 | 单向 |  | DO-218AB |
| <u>SMEJXXAG</u> | 6600 | 20.0~48.0 | 32.4~77.4 | 204.0~85.0 | | | |
| <u>15KPA</u> | 15000 | 17.0~280.0 | 29.3~454.5 | 515.4~33.2 | 单向、双向 |  | P600 |
| <u>ATS33C-2CF</u> | 10000 | 33 | 54.2 | 184.5 | 双向 | | |
| <u>ATS36C-2CF</u> | 10000 | 36 | 58.1 | 172.1 | 双向 | | |
| <u>20KPA</u> | 20000 | 20.0~300.0 | 36.8~483.0 | 548.9~41.8 | 单向、双向 | | |
| <u>30KPA</u> | 30000 | 28.0~288.0 | 50.0~469.9 | 606.0~64.5 | 单向、双向 |  | 插件封装 参见规格书 |
| <u>ATN</u> | — | 20.0~36.0 | — | — | 双向 | | |

Hyperfix 系列

| 产品系列 | 封装 | 系列 | $I_{PP}(KA)$ | V_{AC} | V_{DC} | $V_{BR MIN. (V)}$ |
|-------------|---|----------|--------------|-----------|----------|-------------------|
| <u>HF-L</u> |  | HFA-XXXL | 3 | 8.5V~385V | 12.8~500 | 14~558 |
| | | HFB-XXXL | 6 | 8.5V~310V | 12.8~430 | 14~440 |
| | | HFC-XXXL | 10 | 8.5V~310V | 12.8~430 | 14~440 |
| | | HFD-XXXL | 16 | 8.5V~150V | 12.8~200 | 14~222 |
| <u>HF-C</u> |  | HFA-XXXC | 3 | 8.5V~385V | 12.8~500 | 14~558 |
| | | HFB-XXXC | 6 | 8.5V~275V | 12.8~380 | 14~401 |
| | | HFC-XXXC | 10 | 8.5V~145V | 12.8~190 | 14~200 |
| <u>HF-S</u> |  | HFA-XXXS | 3 | 8.5V~385V | 12.8~500 | 14~558 |
| | | HFB-XXXS | 6 | 8.5V~275V | 12.8~380 | 14~401 |
| | | HFC-XXXS | 10 | 8.5V~145V | 12.8~190 | 14~200 |